

## بررسی رویدادهای چند جتی در نابودی الکترون - پوزیترون

محمد ابراهیم زمردیان و آزاده محمود آبادی

بخش فیزیک، دانشکده علوم، دانشگاه فردوسی مشهد  
پست الکترونیکی: zomorrod@ferdowsi.um.ac.ir  
azardokh@yahoo.com

(دریافت مقاله: ۸۴/۱۱/۱۸؛ دریافت نسخه نهایی: ۸۵/۵/۱۴)

### چکیده

بررسی نابودی الکترون - پوزیترون به هادرونها در گستره انرژیهای بالاتر از  $60\text{ GeV}$  نشان می‌دهد که علاوه بر رویدادهای دو جتی، آثاری نیز از رویدادهای سه جتی مشاهده می‌شود که می‌توان آن را بر طبق نظریه QCD. به عنوان گلوئون تفسیر کرد که توسط یک کوارک تابش می‌شود. با این همه، نمودارهای مرتبه بالاتر به رویدادهای چهار جتی منجر می‌شوند. در این مقاله، ترکش کوارکها و گلوئونها به جتهای هادرونی را مورد بررسی قرار می‌دهیم. هم‌صفحه بودن ( $A$ )<sup>۱</sup> یک پارامتر برای تحلیل ما از رویدادهای چهارجتی است. انتظار داریم برای رویدادهای چهارجتی  $A$  کمیتی مخالف صفر باشد. این نتیجه با نتایج به دست آمده توسط روش مونت کارلو در آزمایشات دیگر و همچنین در انرژیهای پاییتر سازگاری دارد.

واژه‌های کلیدی: جتهای هادرونی، هم‌صفحه بودن، QCD

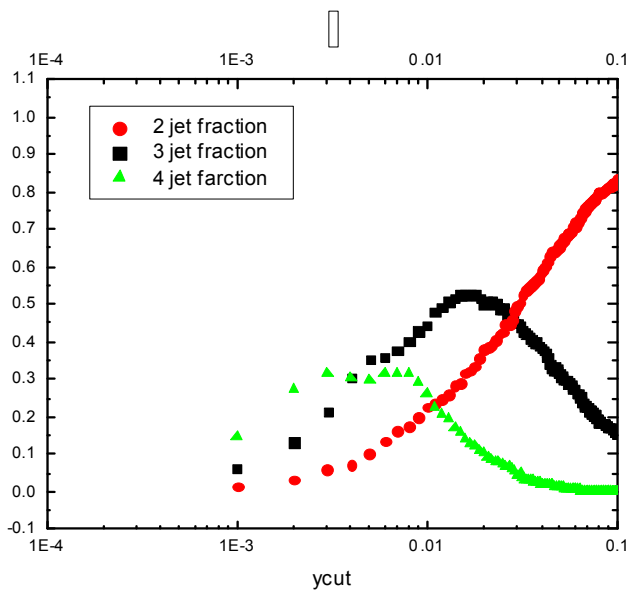
### ۱. مقدمه

گلوئون سخت ( $e^+e^- \rightarrow q\bar{q}g$ ) ناشی می‌شود. از این رو با بررسی رویدادهای سه جتی که یک جت گلوئون و دو جت کوارک را شامل می‌شوند می‌توان اطلاعات بیشتری را در مورد جت گلوئون به دست آورد.

در این مقاله خصوصیات ترکش جت گلوئون و جت کوارک را با استفاده از الگوریتم معروف JADE [۲] مورد مطالعه قرار می‌دهیم.

در بخش ۲ فرایند آزمایش را توصیف می‌کنیم. در بخش ۳، مشاهده‌پذیرها را تعریف می‌کنیم و به دنبال آن در بخش ۴ نتایج فیزیکی را ارائه می‌دهیم. بخش ۵ نتیجه‌گیری را شامل می‌شود.

دینامیک کوانتومی رنگ (QCD) در حال حاضر بهترین نظریه برای بر همکنش‌های قوی و تولید هادرونها در نابودی  $e^+e^-$  است. چند مثال عبارتند از توزیعهای ذرهای، پهن شدگی جت و رویدادهای چند جتی. در دنیای QCD جتهای مشاهده شده، از کوارکها و گلوئونها ناشی می‌شوند (jet عبارت است از مجموعه‌ای از ذرات که در یک جهت خاص حرکت می‌کنند). جتهایی که توسط کوارک یا پادکوارک تولید می‌شوند به تفصیل مورد بررسی قرار گرفته‌اند. با این همه درباره جتهایی که از گلوئونها با انرژی زیاد ناشی می‌شوند اطلاعات کافی در دست نیست. بارتل و همکاران [۱] شواهدی را در دست دارند که نشان می‌دهد توزیع ذرهای در رویدادهای سه جتی از تابش



**شکل ۲.** نسبت رویدادهای دو، سه و چهار جتی به کل رویدادها به صورت تابعی از پرش Y.

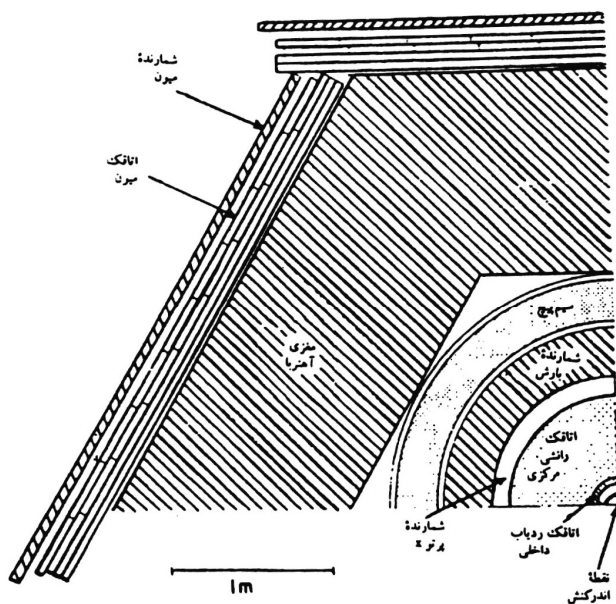
### ۳. تعریف مشاهده پذیرها

جهتها را بر طبق الگوریتم خوشای JADE تعریف می‌کنیم. به منظور تفکیک جهتا در هر رویداد، برای هر زوج ذره  $i$  و  $z$  که در حالت کلی از دو جت مختلف می‌باشند، کمیت  $Y_{ij}$  را به صورت

$$Y_{ij} = \frac{\gamma E_i E_j (\gamma - \cos \theta_{ij})}{E_{vis}^{\gamma}} \quad (1)$$

تعريف می‌کنیم که در آن  $E_i$  و  $E_j$  انرژی دو ذره در رویداد،  $\theta_{ij}$  زاویه بین جهت‌های تکانه دو ذره و  $E_{vis}$  انرژی کل قابل مشاهده در رویداد است. زوج ذرات با کوچکترین مقدار  $\theta_{ij}$  را پیدا می‌کنیم و اگر این مقدار پاییتر از یک پارامتر برش موسوم به برش  $Y$  باشد، زوج ذره توسط یک شبه - ذره با چارتکانه  $P^{\mu} = P_i^{\mu} + P_j^{\mu}$  جایگزین می‌شود. در این صورت، این فرایند با استفاده از مجموعه جدید ذرات و شبه ذرات تکرار می‌شود. وقتی کل مقادیر  $\theta_{ij}$  از برش  $Y$  بزرگتر باشد، فرایند خوش‌های متوقف می‌شود. هر ذره در رویداد تنها به یک خوشه وابسته است.

در شکل ۲ نسبت رویدادهای دو، سه و چهار جتی به کل رویدادها به صورت تابعی از پرش  $Y$  نشان داده شده است. همان

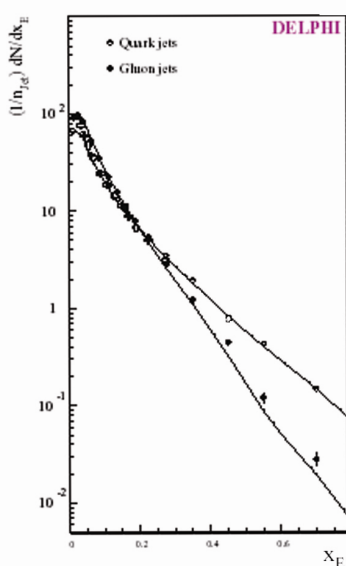


شکل ۱. آشکار ساز AMY

۲. شرح آزمایش

در این مقاله از داده‌های به دست آمده از آشکار ساز AMY از شتاب دهنده TRISTAN واقع در مرکز تحقیقاتی KEK ژاپن استفاده شده است. آشکار ساز AMY (شکل ۱) مشتمل بر یک آشکارساز ردیاب ذرات باردار و یک شمارشگر رگباری است که در داخل یک سیم پیچ مغناطیسی با شدت ۳ تسلا قرار داشته و مجموعه آن با قطعات ضخیم فولادی محصور شده است. در پشت سر این لایه، استوانه‌ای با ۴ لایه از لوله‌های رانشی (اتاک رانش مرکزی یا CDC) قرار دارد. ذرات باردار عمدتاً بر روی یک ناحیه زاویه‌ای قطبی آشکار

در خارج از CDC یک کالریمتر الکترومغناطیسی به درازای ۱۵ طول تابشی وجود دارد که به آن شمارنده رگباری یا SHC می‌گویند و به عنوان یک آشکارساز فوتون عمل می‌نماید. آشکارساز یک ناحیه زاویه‌ای را کاملاً می‌پوشاند. به این ترتیب تکانهٔ ذرات باردار در CDC و انرژی ذرات ختی در SHC اندازه‌گیری می‌شود. توضیح بیشتر برای شرایط آزمایشی در مرچ [۴] آمده است.



شکل ۴. توزیع ترکش برای جتهای کوارک و جتهای گلوئون.

مرجع [۱۰].

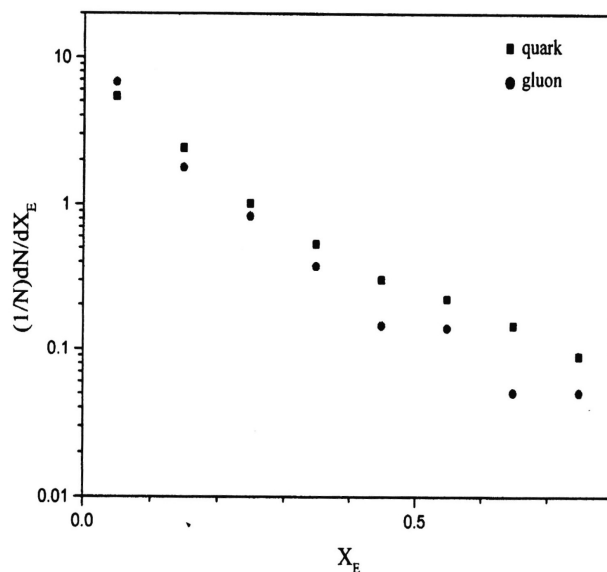
بقای تکانه خطی، رویدادهای دو و سه جتی قبل از آنکه هادرونی شوند، دارای  $A$  مساوی با صفر خواهند بود، حال آنکه رویدادهای چهار جتی در حالت کلی غیر همسفعه هستند و بدون آنکه قانون بقای تکانه خطی را نقض کنند، منجر به مقادیر غیر صفر برای  $A$  می شوند.

#### ۴. نتایج فیزیکی

اختلاف بین جتهای کوارک و جتهای گلوئون در تابع ترکش که به صورت زیر تعریف می شود پدید می آید:

$$X_E = \frac{E_i}{E_{jet}}, \quad (4)$$

که در آن  $E_i$  انرژی ذرات منفرد در یک رویداد است، و  $E_{jet}$  عبارت است از انرژی جت کوارک یا جت گلوئون. شکل ۳ توزیع  $X_E$  برای جتهای کوارک و جتهای گلوئون نشان می دهد. پارامتر ترکش برای هر دو نوع جت با انرژی کاهش می یابد، اما تفاوت بین آنها ایجاب می کند که طیف انرژی جت گلوئون نرمانتر باشد یعنی ذرات تشکیل دهنده آن در مقایسه با ذرات تشکیل دهنده جت کوارک از انرژی کمتری برخوردارند. این نتایج با نتایج به دست آمده از آزمایش‌های دیگر (شکل ۴) مطابقت دارد [۱۰].



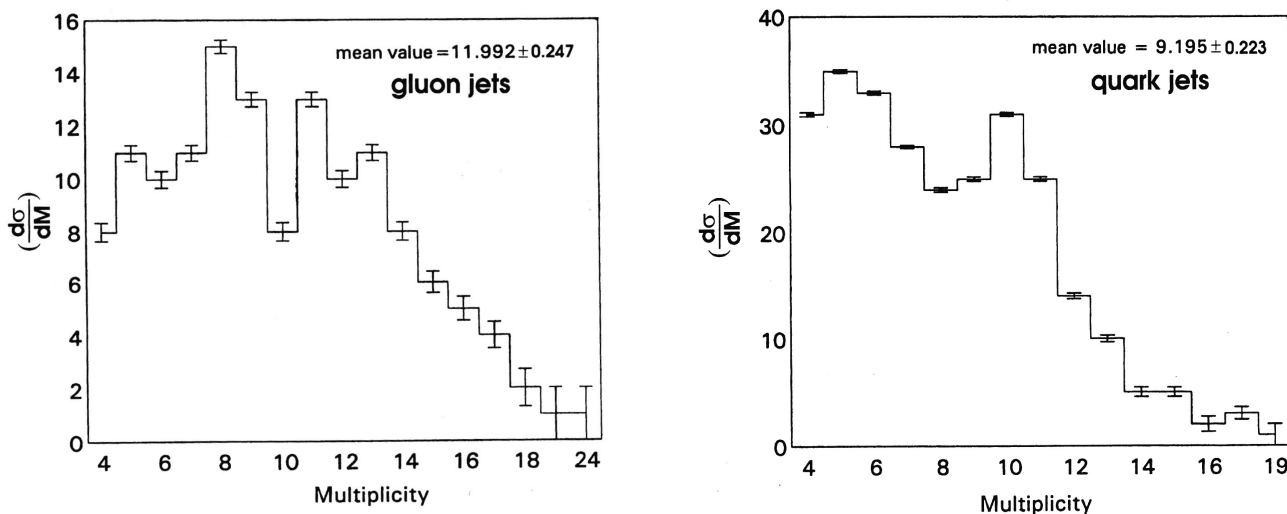
شکل ۵. توزیع ترکش برای جتهای کوارک و جتهای گلوئون

گونه که از شکل پیداست تعداد جتهای تفکیک یافته در یک رویداد معین تابعی از برش  $Y$  می باشد. با این همه ، تا جایی که شرایط یافتن جت، تحلیل تجربی و محاسبات نظری را بر آورده سازد، می توان یک مقایسه قابل قبول از داده های تجربی را با محاسبات نظریه اختلال مرتبه اول و مرتبه دوم QCD انجام داد. در این مقاله از  $=^{+0}/^{+2}$  برش  $Y$  استفاده شده است. دلیل انتخاب این معیار در مرجع [۲] آمده است. شایان ذکر است نتایج فیزیکی که در زیر می آید از نظر کیفی به ازای مقادیر دیگر برش  $Y$  نیز معتبرند.

سرانجام ساختار رویدادهای چهار جتی را که توسط QCD مرتبه دوم برآورد می شود، توصیف می کنیم. برای این منظور پارامتر  $A$  را به صورت زیر معرفی می کنیم [۵]

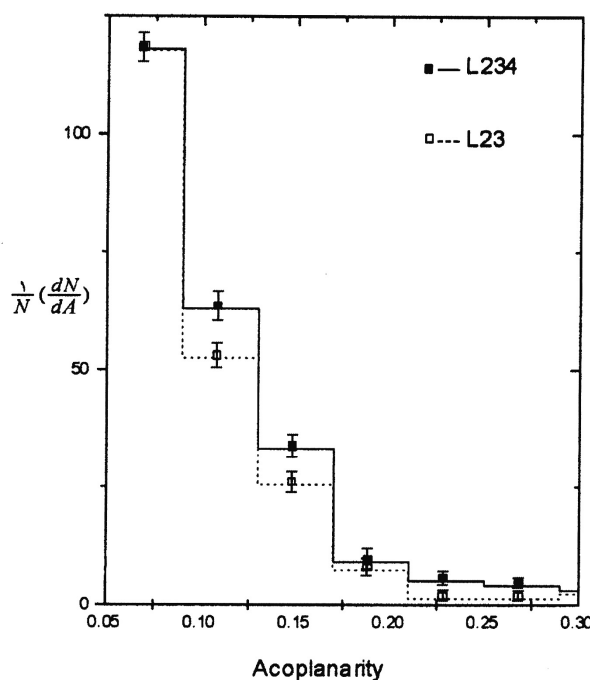
$$A = \min \left( \sum_i \left| P_i^\perp \right| / \sum_i |P_i| \right), \quad (5)$$

که در آن  $P_i^\perp$  عبارتست از تکانه پارتوون  $i$  ام و  $P_i^\perp$  مؤلفه عمود بر صفحه ای است، که این صفحه به گونه ای چرخیده است که کمیت درون پرانتر را کمینه می سازد. همان گونه که بر طبق نظریه QCD، تابش یک گلوئون منجر به تولید یک رویداد سه جتی می شود، تابش دو گلوئون در نابودی الکترون - پوزیترون یک رویداد چهار جتی را تولید می کند [۱۳]. با توجه به قانون



شکل ۶. توزیع چند گانگی برای جت‌های گلوئون.

شکل ۵. توزیع چند گانگی برای جت‌های کوارک.

شکل ۷. توزیع همصفحه بودن برای رویدادهای دو و سه جتی (L<sub>۲۳۴</sub>) به همراه این توزیع برای رویدادهای دو سه و چهار جتی (L<sub>۲۳۴</sub>).

این نسبت چند گانگی جت گلوئون به چند گانگی جت کوارک برابر است با  $0.031 \pm 0.031$  این مقدار عددی با نتایج به دست آمده از گروه OPAL [۸] مطابقت کامل دارد. همچنین نتایج ما با نظریه QCD سازگار است [۶ و ۷].

اکنون خصوصیات رویدادهای چهار جتی را که توسط QCD برآورده شود مورد مطالعه قرار می‌دهیم. برای این

برای توضیح بیشتر در شکل ۵ و ۶ به تفکیک توزیع چند گانگی برای جت‌های کوارک و جت‌های گلوئون نشان داده شده است. با در نظر گرفتن خطاهای آماری مقادیر میانگین، نمودارها نشان می‌دهند که تقریب چند مرتبه بزرگی انحراف از مقادیر میانگین، ذرات در جت‌های گلوئون در مقایسه با ذرات در جت‌های کوارک از چند گانگی بالاتری برخوردارند. علاوه بر

مرکز جرم  $60\text{ GeV}$  بر حسب پارامتر ترکش  $X_E$  و همچنین بر حسب توزیع چند گانگی مورد مطالعه قرار دادیم. در نظریه QCD جتهای گلوئون و جتهای کوارک تفاوت‌هایی را از خود نشان می‌دهند. این بدان دلیل است که گلوئونها نسبت به کوارکها حامل بار رنگی بیشتری هستند.

بنابراین از نظر کمی انتظار می‌رود جتهای گلوئون دارای خصوصیات چند گانگی بالاتر و ترکش نرمتری در مقایسه با جتهای کوارک باشند. این نتایج با نظریه QCD سازگاری دارد. همچنین توزیع تجربی پارامتر همصفحه بودن (A) را مورد مطالعه قرار دادیم که بر طبق نظریه QCD مرتباً دوم از اهمیت ویژه‌ای برخوردار است. نتایج به دست آمده برای این پارامتر با نتایج به دست آمده از رویدادهای چهار جتی در آزمایشگاهی دیگر سازگار است [۱۲].

منظور، شکل ۷ توزیع همصفحه بودن (A) را به تفکیک برای رویدادهای دو و سه جتی ( $L_{23}$ ) و برای رویدادهای دو، سه و چهار جتی ( $L_{234}$ ) نشان می‌دهد. همان گونه که از شکل پیداست، هر دو توزیع، قله‌ای را پیرامون مقادیر پائین A نشان می‌دهند. با افزایش مقدار A، هر دو توزیع به صفر نزول می‌کنند. با این همه مشاهده می‌کنیم که توزیع  $L_{23}$  در مقایسه با توزیع  $L_{234}$  با سرعت بیشتری به صفر نزول می‌کند. این نشان می‌دهد که کسر اندکی از رویدادها (با مراجعه به شکل ۲ به ازای  $=0/02$  برش Y تقریباً ده درصد از رویدادها چهار جتی هستند)، تحت تأثیر تابش دو گلوئون در زوایای بزرگ از کوارکها قرار می‌گیرند، که توسط QCD مرتباً دوم نیز برآورد شده است. نتیجه می‌گیریم احتمال تابش دو گلوئون در نابودیهای  $e^+e^-$  در انرژی مرکز جرم  $60\text{ GeV}$  وجود دارد. این نتیجه با نظریه QCD به صورت کیفی سازگار است.

### قدردانی

از گروه AMY در شتاب دهنده TRISTAN ژاپن برای ارائه اطلاعات به نویسنده این مقاله تشکر و قدردانی می‌شود.

### ۵. بحث و نتیجه‌گیری

در این مقاله ترکش ذرات باردار در نابودی  $e^+e^-$  را در انرژی

### مراجع

8. OPAL Collab P D Acton et al, *Z. Phys. C* **58** (1993) 387.
9. JADE Collab, W Bartel et al, *Phys. Lett. B* **115** (1982) 338.
10. J Fuster and S Marti, hep-ex/9511002.
11. AMY Collab , T umita et al, *Phys. Rev. D* **42** (1990) 1339.
12. W Bartel et al., *Phys. Lett. B* **119** (1982) 239.
13. Francis Halzen & Alen D Martin. *Quarks and Leptons* (1984).
1. JADE Collab W Bartel et al, *Phys. Lett. B* **123** (1983) 460, *Z. Phys. C* **21** (1983) 37.
2. JADE Collab W Bartel et al, *Z Phys C* **33** (1986) 23, S Bethke et al, *Phys. Lett. B* **213** (1988) 235.
3. S Catani et al, *Phys. Lett. B* **264** (1991) 432.
4. Y K Kim et al, *Phys. Rev. Lett.* **63** (1989) 1772.
5. B Anderson et al, *Phys. Lett. B* **94** (1980) 211.
6. P Nason and B R Webber, *Nucl Phys B* **421** (1995) 473.
7. P J Rijken and W L Van Neerven, *Phys. Lett. B* **386** (1996) 422.